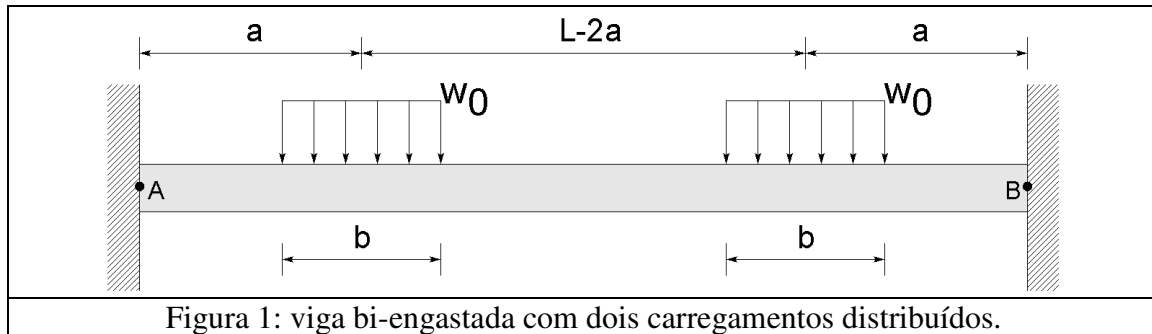


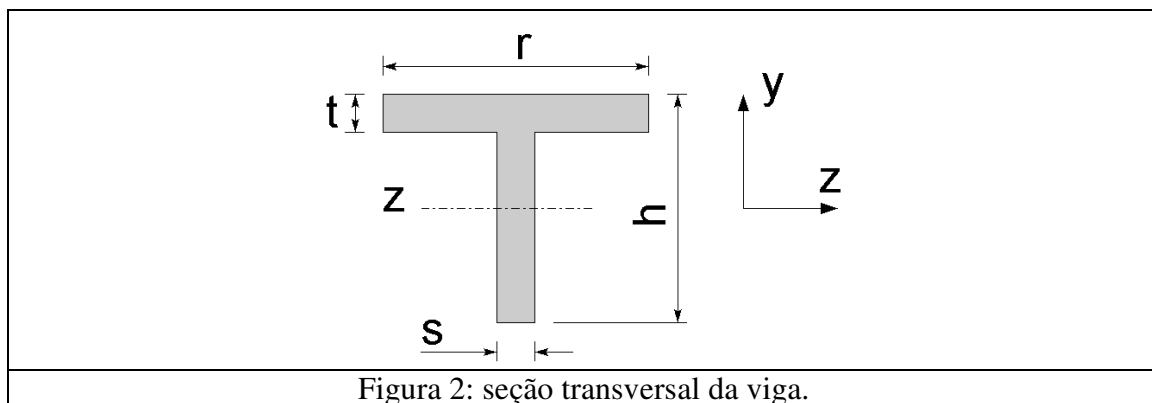
Gabarito: Segunda Prova de Resistência dos Materiais I – EM406

27 de Novembro de 2008

Questão 1 (5,0 pontos, Unicamp 2004): A viga bi-engastada de comprimento total L descrita na figura abaixo, suporta os carregamentos distribuídos w_0 , onde: $w_0 = P/b$.



- Esboce os diagramas de esforço cortante e momento fletor. Utilize $b = a = L/5$.
- Qual é o máximo valor do momento fletor e onde ele ocorre?
- Se o valor de b for muito menor que o de a , explique o que mudaria nos seus resultados.
- Se a viga possuir a seção transversal mostrada na figura abaixo, qual o valor do momento de inércia I_{zz} em relação ao eixo que passa pelo seu centróide.

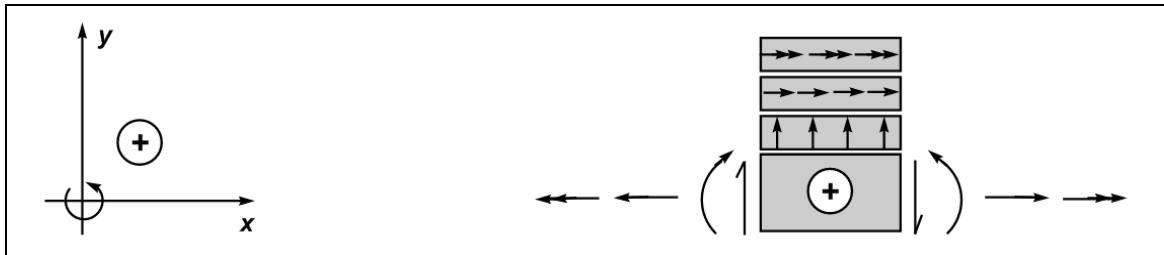


- Quais são os valores das tensões σ_{xx} máximas trativas e compressivas na viga
- Desenhe a distribuição de tensão ao longo da seção no ponto x do item b .
- Qual o valor da máxima deflexão v . (Atenção, não é necessário traçar o diagrama para a deflexão em função de x , nem para a rotação em função de x)

Dados: $L = 10\text{m}$, $t = s = 5\text{mm}$, $r = 50\text{mm}$ e $h = 30\text{mm}$;
material aço $E = 2,1 \cdot 10^{11} \text{ N/m}^2$; carga $P = 1000\text{N}$

Solução

1) Eixos e convenções



2) Equação Diferencial

$$EI_{zz} \frac{d^4}{dx^4} v(x) = q(x) \quad (1)$$

3) Equação de carregamento

$$q(x) = -w_0 \langle x - a + b/2 \rangle^0 + w_0 \langle x - a - b/2 \rangle^0 - w_0 \langle x - L + a + b/2 \rangle^0 + w_0 \langle x - L + a - b/2 \rangle^0 \quad (2)$$

4) Condições de Contorno e restrição

$$v(x=0) = 0 \quad (3)$$

$$\theta_z(x=0) = 0 \quad (4)$$

$$v(x=L) = 0 \quad (5)$$

$$\theta_z(x=L) = 0 \quad (6)$$

5) Integração da equação diferencial

$$EI \frac{d^4 v(x)}{dx^4} = -w_0 \langle x - a + b/2 \rangle^0 + w_0 \langle x - a - b/2 \rangle^0 - w_0 \langle x - L + a + b/2 \rangle^0 + w_0 \langle x - L + a - b/2 \rangle^0$$

$$EI \frac{d^3 v(x)}{dx^3} = V_y =$$

$$-w_0 \langle x - a + b/2 \rangle^1 + w_0 \langle x - a - b/2 \rangle^1 - w_0 \langle x - L + a + b/2 \rangle^1 + w_0 \langle x - L + a - b/2 \rangle^1 + c_1$$

$$EI \frac{d^2 v(x)}{dx^2} = M_z =$$

$$-\frac{w_0}{2} \langle x - a + b/2 \rangle^2 + \frac{w_0}{2} \langle x - a - b/2 \rangle^2 - \frac{w_0}{2} \langle x - L + a + b/2 \rangle^2 + \frac{w_0}{2} \langle x - L + a - b/2 \rangle^2 + c_1 x + c_2$$

$$EI \frac{dv(x)}{dx} =$$

$$-\frac{w_0}{6} \langle x - a + b/2 \rangle^3 + \frac{w_0}{6} \langle x - a - b/2 \rangle^3 - \frac{w_0}{6} \langle x - L + a + b/2 \rangle^3 + \frac{w_0}{6} \langle x - L + a - b/2 \rangle^3 + c_1 \frac{x^2}{2} + c_2 x + c_3$$

$$EI \cdot v(x) =$$

$$-\frac{w_0}{24} \langle x - a + b/2 \rangle^4 + \frac{w_0}{24} \langle x - a - b/2 \rangle^4 - \frac{w_0}{24} \langle x - L + a + b/2 \rangle^4 + \frac{w_0}{24} \langle x - L + a - b/2 \rangle^4 + c_1 \frac{x^3}{6} + c_2 \frac{x^2}{2} + c_3 x + c_4$$

6) Determinação das constantes de integração

$$E.I \frac{dv(0)}{dx} = 0 =$$

$$-\frac{w_0}{6} \underbrace{\langle 0-a+b/2 \rangle^3}_0 + \frac{w_0}{6} \underbrace{\langle 0-a-b/2 \rangle^3}_0 - \frac{w_0}{6} \underbrace{\langle 0-L+a+b/2 \rangle^3}_0 + \frac{w_0}{6} \underbrace{\langle 0-L+a-b/2 \rangle^3}_0 + c_1 \frac{0^2}{2} + c_2 \cdot 0 + c_3 \rightarrow c_3 = 0$$

$$E.I \cdot v(0) = 0$$

$$-\frac{w_0}{24} \underbrace{\langle 0-a+b/2 \rangle^4}_0 + \frac{w_0}{24} \underbrace{\langle 0-a-b/2 \rangle^4}_0 - \frac{w_0}{24} \underbrace{\langle 0-L+a+b/2 \rangle^4}_0 + \frac{w_0}{24} \underbrace{\langle 0-L+a-b/2 \rangle^4}_0 + c_1 \frac{0^3}{6} + c_2 \frac{0^2}{2} + c_3 \cdot 0 + c_4 \rightarrow c_4 = 0$$

$$E.I \frac{dv(L)}{dx} = 0 =$$

$$-\frac{w_0}{6} \langle L-a+b/2 \rangle^3 + \frac{w_0}{6} \langle L-a-b/2 \rangle^3 - \frac{w_0}{6} \langle L-L+a+b/2 \rangle^3 + \frac{w_0}{6} \langle L-L+a-b/2 \rangle^3 + c_1 \frac{L^2}{2} + c_2 \cdot L = 0$$

$$E.I \cdot v(L) = 0$$

$$-\frac{w_0}{24} \langle L-a+b/2 \rangle^4 + \frac{w_0}{24} \langle L-a-b/2 \rangle^4 - \frac{w_0}{24} \langle L-L+a+b/2 \rangle^4 + \frac{w_0}{24} \langle L-L+a-b/2 \rangle^4 + c_1 \frac{L^3}{6} + c_2 \frac{L^2}{2} = 0$$

As duas últimas equações resultam em um sistema linear 2x2 com as incógnitas c_1 e c_2 . Substituindo os valores, tem-se:

$$w_0 = P/b \rightarrow 1000/2 = 500 \text{ N/m}$$

$$-\frac{500}{6} \langle 10-2+1 \rangle^3 + \frac{500}{6} \langle 10-2-1 \rangle^3 - \frac{500}{6} \langle 2+1 \rangle^3 + \frac{500}{6} \langle 2-1 \rangle^3 + c_1 \frac{10^2}{2} + c_2 \cdot 10 = 0$$

$$E.I \cdot v(0) = 0$$

$$-\frac{500}{24} \langle 10-2+1 \rangle^4 + \frac{500}{24} \langle 10-2-1 \rangle^4 - \frac{500}{24} \langle 2+1 \rangle^4 + \frac{500}{24} \langle 2-1 \rangle^4 + c_1 \frac{10^3}{6} + c_2 \frac{10^2}{2} = 0$$

$$\begin{bmatrix} 50 & 10 \\ 166.67 & 50 \end{bmatrix} \begin{Bmatrix} c_1 \\ c_2 \end{Bmatrix} = \begin{Bmatrix} 3.433 \\ 8.833 \end{Bmatrix} \cdot 10^4 \rightarrow \begin{Bmatrix} c_1 \\ c_2 \end{Bmatrix} = \begin{Bmatrix} 1000 \\ -1566.7 \end{Bmatrix}$$

As expressões finais resultantes são:

$$E.I \frac{d^3 v(x)}{dx^3} = V_y =$$

$$-500 \langle x-1 \rangle^1 + 500 \langle x-3 \rangle^1 - 500 \langle x-7 \rangle^1 + 500 \langle x-9 \rangle^1 + 1000$$

$$E.I \frac{d^2 v(x)}{dx^2} = M_z =$$

$$-250 \langle x-1 \rangle^2 + 250 \langle x-3 \rangle^2 - 250 \langle x-7 \rangle^2 + 250 \langle x-9 \rangle^2 + 1000x - 1566.7$$

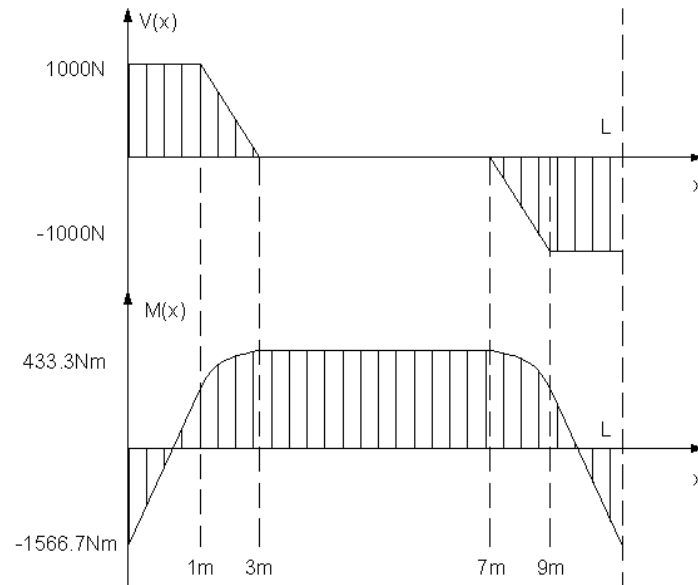
$$E.I \frac{dv(x)}{dx} =$$

$$-83.33 \langle x-1 \rangle^3 + 83.33 \langle x-3 \rangle^3 - 83.33 \langle x-7 \rangle^3 + 83.33 \langle x-9 \rangle^3 + 500x^2 - 1566.7x$$

$$E.I \cdot v(x) =$$

$$-20.83 \langle x-1 \rangle^4 + 20.83 \langle x-3 \rangle^4 - 20.83 \langle x-7 \rangle^4 + 20.83 \langle x-9 \rangle^4 + 166.67x^3 - 783.35x^2$$

Item A) Os diagramas resultantes para o esforço cortante e momento fletor são:

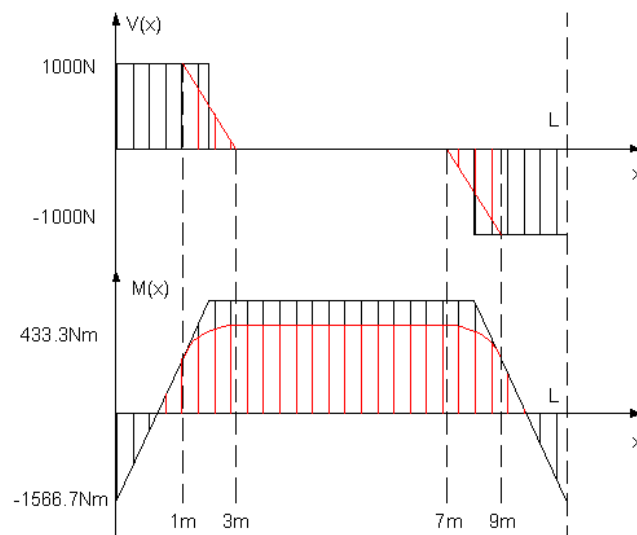


Item B)

Existem dois pontos onde os valores do momento fletores são máximos, estes são justamente no engaste, em $x=0$ e $x=L=10\text{m}$ com valor absoluto de $1566,7\text{ Nm}$ (reação de apoio).

Item C)

Ao se considerar a diminuição do valor de **b** em relação ao de **a**, pode-se verificar a se a seguinte modificação nos diagramas de esforço cortante e momento fletor:



Nota-se que certos patamares do esforço cortante e momento fletor sofreram modificações.

Item D)

Para o cálculo de I_{zz} , primeiramente, deve-se determinar o valor do centróide:

$$y_c = \frac{\sum y_i A_i}{\sum A_i} = \frac{50 \cdot 5 \cdot 27,5 + 5 \cdot 25 \cdot 12,5}{50 \cdot 5 + 5 \cdot 25} = 22,5 \text{ mm em relação a base}$$

$$I_{zz} = \sum (\bar{I}_{zz} + A_i d_i^2) = \frac{50 \cdot 5^3}{12} + 50 \cdot 5 \cdot (27,5 - 22,5)^2 - \frac{5 \cdot 25^3}{12} - 5 \cdot 25 \cdot (22,5 - 12,5)^2$$

$$I_{zz} = 2,5781 \cdot 10^4 \text{ mm}^4 \rightarrow I_{zz} = 2,5781 \cdot 10^{-8} \text{ m}^4$$

Item E)

O momento fletor é máximo nos engaste, para $x=0$ e $x=10\text{m}$:

$$M_z(x=0) = M_z(x=10) = 1566,7 \text{ Nm}$$

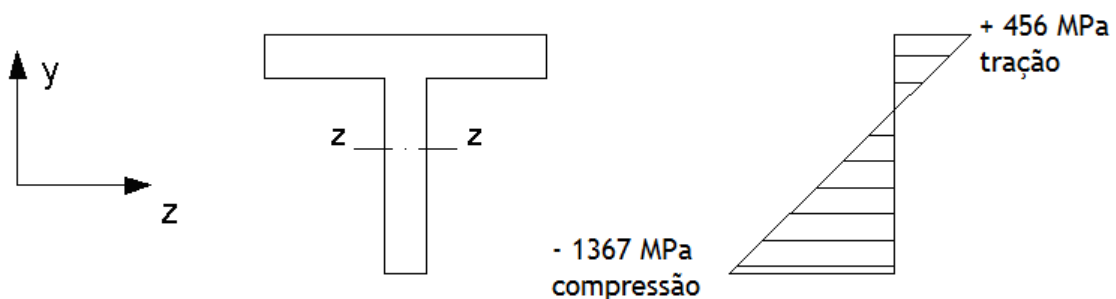
Os valores das tensões máximas trativas e compressivas são:

$$\sigma_{xx_com} = \frac{-M_z \cdot c_1}{I} \rightarrow \sigma_{xx_com} = \frac{1566,7 \cdot (0 - 22,5) \cdot 10^{-3}}{2,5781 \cdot 10^{-8}} \rightarrow \sigma_{xx_com} = -1367,31 \text{ Pa}$$

$$\sigma_{xx_trat} = \frac{-M_z \cdot c_2}{I} \rightarrow \sigma_{xx_trat} = \frac{1566,7 \cdot (30 - 22,5) \cdot 10^{-3}}{2,5781 \cdot 10^{-8}} \rightarrow \sigma_{xx_trat} = -455,77 \text{ Pa}$$

Item F)

O ponto x do item B) é o engaste, $x=0$.



Item G)

O valor da flecha máxima ocorre em $x=L/2 = 5\text{m}$, onde a derivada de v é zero ou seja o valor da inclinação $\theta_z = dv/dx$ (ponto de inflexão) e seu valor é dado por:

$$EI_{zz}v(L/2) = -20.83\langle 5-1 \rangle^4 + 20.83\langle 5-3 \rangle^4 - 20.83\underbrace{\langle 5-7 \rangle^4}_0 + 20.83\underbrace{\langle 5-9 \rangle^4}_0 + 166.67 \cdot 5^3 - 783.35 \cdot 5^2$$

$$EI_{zz}v_{\max} = -3750,4\text{Nm}^3 \rightarrow v_{\max} = -\frac{-3750,4}{2,1 \cdot 10^{11} \cdot 2,5781 \cdot 10^{-8}} \rightarrow v_{\max} = -0,6927\text{m} \approx -693\text{mm}$$

Gabarito: Segunda Prova de Resistência dos Materiais I – EM406

27 de Novembro de 2008

Questão 2 (3,0 pontos): Uma estaca de madeira sustentando um píer desenvolve uma força de atrito f por unidade de comprimento da estaca sobre a porção de seu comprimento que esta submersa no solo (veja na figura). A intensidade da força de tração varia linearmente com a distância y a partir da base da estaca, isto é, $f = cy$, em que c é uma constante. O comprimento de submersão é L_1 e a porção superior da estaca tem comprimento L_2 . A carga na estaca é P , sua área de seção transversal é A e seu módulo de elasticidade é E .

- a) Mostre que a fórmula para o encurtamento da estaca é dada por:

$$\delta = \frac{P(L_1 + 3L_2)}{3EA}.$$

Dica: A reação de apoio no ponto O é nula.

- b) Desenhe um diagrama mostrando a tensão de compressão σ_c varia ao longo do comprimento da estaca.

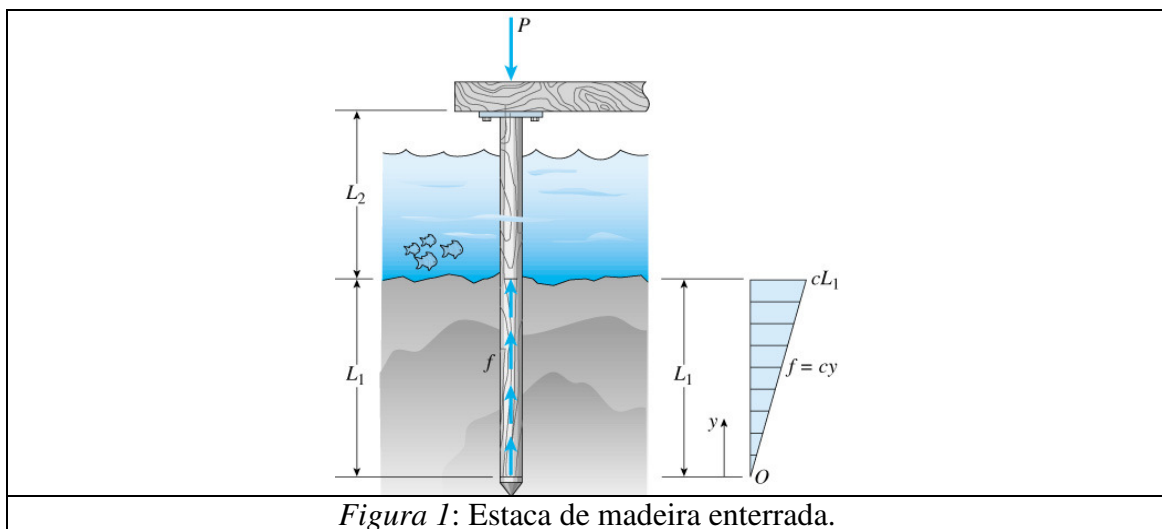


Figura 1: Estaca de madeira enterrada.

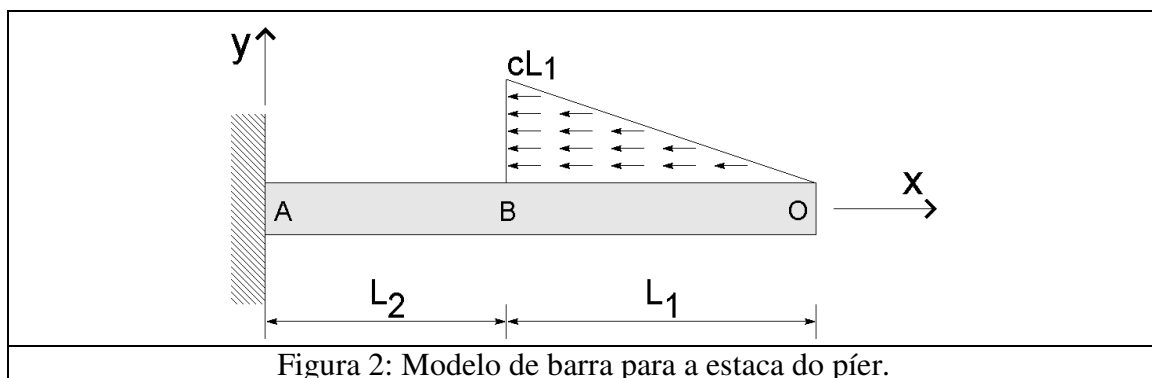
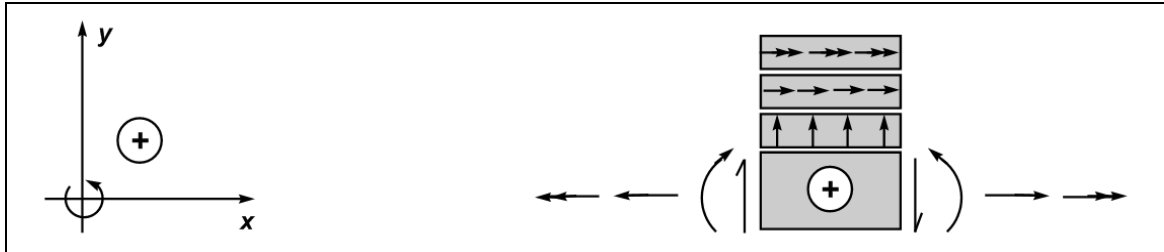
Solução

Figura 2: Modelo de barra para a estaca do píer.

A estaca proposta pela questão pode ser modelada como um problema de barra, como mostrado na Figura 2. Sabe-se também que a reação no apoio é a carga P. Resolvendo o problema da barra:

1) Eixos e convenções



2) Equação Diferencial

$$EA \frac{d^2}{dx^2} u(x) = -p(x) \quad (1)$$

3) Equação de carregamento

$$p(x) = -cL_1 \langle x - L_2 \rangle^0 + c \langle x - L_2 \rangle^1 \quad (2)$$

4) Condições de Contorno e restrição

$$u(x = 0) = 0 \quad (3)$$

$$N_x(x = L_1 + L_2) = 0 \quad (4)$$

5) Integração da equação diferencial

$$EA \frac{d^2}{dx^2} u(x) = cL_1 \langle x - L_2 \rangle^0 - c \langle x - L_2 \rangle^1 \quad (5)$$

↓ ∫

$$EA \frac{d}{dx} u(x) = N_x(x) = cL_1 \langle x - L_2 \rangle^1 - \frac{1}{2} c \langle x - L_2 \rangle^2 + C_1 \quad (6)$$

↓ ∫

$$EAu(x) = \frac{cL_1}{2} \langle x - L_2 \rangle^2 - \frac{c}{6} \langle x - L_2 \rangle^3 + C_1 x + C_2 \quad (7)$$

6) Determinação das incógnitas e constantes de integração

Substituindo (3) em (7), tem-se:

$$EAu(x = 0) = \frac{cL_1}{2} \underbrace{\langle x - L_2 \rangle^2}_{=0} - \frac{c}{6} \underbrace{\langle x - L_2 \rangle^3}_{=0} + C_1 \cdot 0 + C_2 = 0$$

$$\Rightarrow C_2 = 0 \quad (8)$$

Substituindo (4) e (8) em (6), tem-se:

$$\begin{aligned} N_x(x = L_1 + L_2) &= cL_1(L_1 + L_2 - L_2) - \frac{1}{2}c(L_1 + L_2 - L_2)^2 + C_1 = 0 \\ cL_1^2(L_1 + L_2 - L_2) - \frac{1}{2}cL_1^2 + C_1 &= 0 \\ C_1 &= -\frac{1}{2}cL_1^2 \end{aligned} \quad (9)$$

7) Equações finais

Substituindo (8) e (9) em (6) e (7), obtém-se as equações finais de esforço normal e deslocamento:

$$N_x(x) = cL_1 \langle x - L_2 \rangle^1 - \frac{c}{2} \langle x - L_2 \rangle^2 - \frac{cL_1^2}{2} \quad (10)$$

$$EAu(x) = \frac{cL_1}{2} \langle x - L_2 \rangle^2 - \frac{c}{6} \langle x - L_2 \rangle^3 - \frac{cL_1^2}{2} x \quad (11)$$

8) Fórmula do encurtamento

$$\delta = u(x = L_1 + L_2)$$

$$\begin{aligned} \delta &= \frac{1}{EA} \left[\frac{cL_1}{2} (L_1 + L_2 - L_2)^2 - \frac{c}{6} (L_1 + L_2 - L_2)^3 - \frac{cL_1^2}{2} (L_1 + L_2) \right] \\ \delta &= \frac{1}{EA} \left[\frac{cL_1^3}{2} - \frac{cL_1^3}{6} - \frac{cL_1^3}{2} - \frac{cL_1^2 L_2}{2} \right] = \frac{1}{EA} \left[-\frac{cL_1^3}{6} - \frac{cL_1^2 L_2}{2} \right] = -\frac{cL_1^2}{EA} \left[\frac{L_1}{6} + \frac{L_2}{2} \right] \\ \delta &= -\frac{cL_1^2}{EA} \left[\frac{L_1 + 3L_2}{6} \right] = -\frac{cL_1^2}{6EA} (L_1 + 3L_2) \end{aligned}$$

(o sinal negativo representa encurtamento).

Por outro lado, do equilíbrio da estaca (Figura 2), sabe-se que:

$$\sum F_x = 0 \Rightarrow P = \frac{1}{2}(cL_1)(L_1) = \frac{cL_1^2}{2}$$

Assim, tem-se finalmente que:

$$\delta = \frac{P}{3EA} (L_1 + 3L_2)$$

9) Tensão de compressão σ_c ao longo da estaca

$$\sigma_c(x) = \frac{N_x(x)}{A}$$

$$\therefore \sigma_c(x) = \frac{1}{A} \left[cL_1 \langle x - L_2 \rangle^1 - \frac{c}{2} \langle x - L_2 \rangle^2 - \frac{cL_1^2}{2} \right]$$

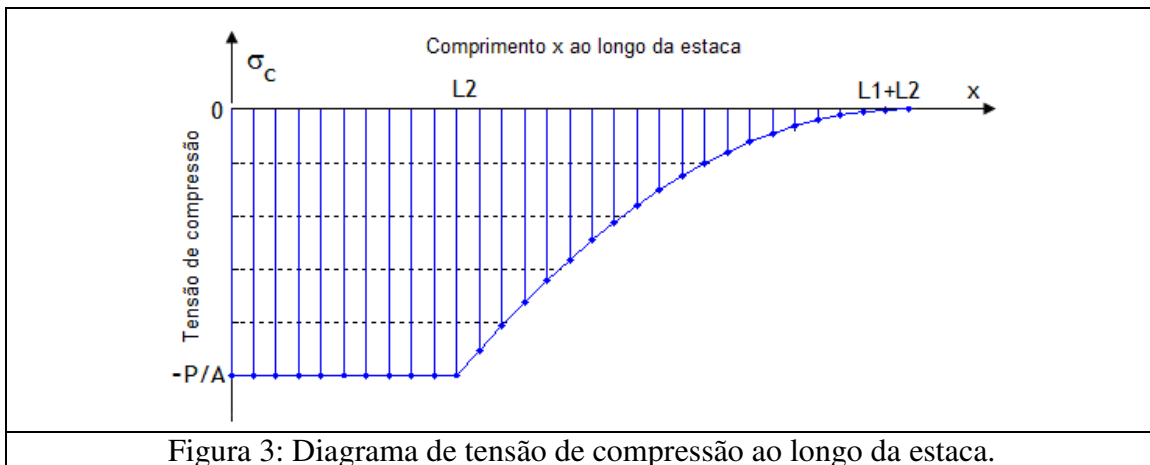
Como $c = \frac{2P}{L_1^2}$, então:

$$\sigma_c(x) = \frac{P}{A} \left[\frac{2}{L_1} \langle x - L_2 \rangle^1 - \frac{1}{L_1^2} \langle x - L_2 \rangle^2 - 1 \right]$$

$$\sigma_c(0 < x < L_2) = \frac{P}{A} \left[\frac{2}{L_1} \underbrace{\langle x - L_2 \rangle^1}_{=0} - \frac{1}{L_1^2} \underbrace{\langle x - L_2 \rangle^2}_{=0} - 1 \right] = -\frac{P}{A}$$

$$\begin{aligned} \sigma_c(L_2 < x < L_1 + L_2) &= \frac{P}{A} \left[\frac{2}{L_1} \underbrace{\langle x - L_2 \rangle^1}_{(x-L_2)} - \frac{1}{L_1^2} \underbrace{\langle x - L_2 \rangle^2}_{(x-L_2)^2} - 1 \right] = \\ &= \frac{P}{A} \left[\frac{2}{L_1} (x - L_2) - \frac{1}{L_1^2} (x - L_2)^2 - 1 \right] \end{aligned}$$

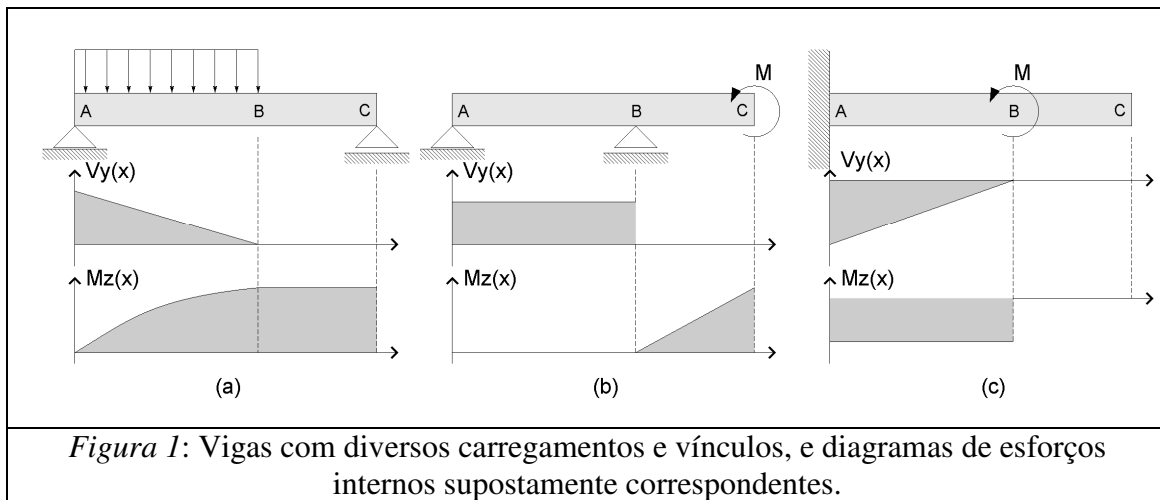
$$\begin{cases} \sigma_c(x = L_2) = -\frac{P}{A} \\ \sigma_c(x = L_1 + L_2) = 0 \end{cases}$$



Gabarito: Segunda Prova de Resistência dos Materiais I – EM406

27 de Novembro de 2008

Questão3: (2,0 pontos, MIT 2006) Na figura abaixo os diagramas de carregamentos e de esforços internos (esforço cortante e momento fletor) de diferentes vigas são mostrados (casos **a**, **b** e **c**). Alguns destes podem estar corretos e outros podem estar errados. Sem efetuar os cálculos correspondentes, pede-se que sejam identificados os diagramas incorretos. Justifique sua indicação com palavras, indique qual a inconsistência encontrada em cada caso e esboce qual seria o diagrama correto correspondente.

**Solução**

Problema a) A presença do vínculo no ponto C implica que naquele ponto, assim como em toda a seção BC, deve haver um valor de esforço cortante não-nulo. Isso não é mostrado pelo gráfico. Por outro lado, o vínculo no ponto C não resiste a momento fletor, de forma que o momento naquele ponto deveria ser nulo. Dessa forma, ambos os diagramas estão incorretos.

Problema b) O diagrama de esforço cortante está correto. Há duas reações nos vínculos A e B para equilibrar o esforço aplicado na extremidade. Estudando o equilíbrio de momentos no ponto B, é fácil descobrir que a reação do vínculo A é positiva, como mostra o gráfico. Contudo, como o único esforço aplicado na seção BC é o momento M, o diagrama de momento fletor deveria ser constante nesse trecho. Assim, no caso b somente o diagrama de momento fletor está errado.

Problema c) Não havendo qualquer esforço transversal em toda a viga, não é possível que a reação no apoio não seja nula. Isso contraria o equilíbrio de forças na direção vertical. Já o momento no engaste deve equilibrar o momento M aplicado, e essa reação é constante ao longo da seção AB, como mostra o gráfico. O único problema é que o sinal do gráfico está errado, talvez porque o MIT use uma convenção de sinais diferente da que usamos no curso.

Dessa forma, ambos os diagramas estão incorretos.